



208846



รายงานวิจัยเพื่อพัฒนาและยกระดับคุณภาพชีวภาพและกิจกรรม

การห้ามออกซิเดชันของข้าวเมล็ดสีขาวที่ปรุงรักษาด้วยน้ำมันพืช

QUANTITATIVE CHANGES OF γ -CRYZANOL, ANTHOCYANINS AND
ANTIOXIDANT ACTIVITY OF UNPOLISHED RICE DURING
HIGH TEMPERATURE SOAKING

เอกสารอ้างอิง
สำนักวิทยบริการฯ

วิทยานิพนธ์ปริญญาโทสาขาเคมีอาหาร
มหาวิทยาลัยขอนแก่น

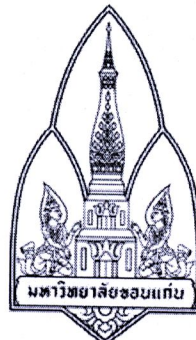
๒๕๕๔

๖๐๐๒๕๗๒๐๐

ห้องสมุดงานวิจัย สำนักงานคณะกรรมการวิจัยแห่งชาติ



208846



การเปลี่ยนแปลงปริมาณแกรมมาโอไรซานอล แอนโธไซยานิน และกิจกรรม
การต้านออกซิเดชันของข้าวไม่ขัดสีระหว่างการแช่ที่อุณหภูมิสูง

**QUANTITATIVE CHANGES OF γ -ORYZANOL, ANTHOCYANINS AND
ANTIOXIDANT ACTIVITY OF UNPOLISHED RICE DURING
HIGH TEMPERATURE SOAKING**



นางสาวพนิตตรา ชำนาญศิลป์

วิทยานิพนธ์ปริญญาวิทยาศาสตรมหาบัณฑิต
มหาวิทยาลัยขอนแก่น

พ.ศ. 2554

การเปลี่ยนแปลงปริมาณแคนมาโอไรชาโนล แอนโซไซยานิน และกิจกรรม
การต้านออกซิเดชันของข้าวไม่ขัดสีระหว่างการแข็งที่อุณหภูมิสูง

นางสาวพนิดตรา ชำนาญศิลป์

วิทยานิพนธ์นี้เป็นส่วนหนึ่งของการศึกษาตามหลักสูตรปริญญาวิทยาศาสตร์มหาบัณฑิต
สาขาวิชาเทคโนโลยีการอาหาร
บัณฑิตวิทยาลัย มหาวิทยาลัยขอนแก่น

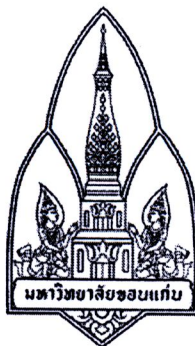
พ.ศ. 2554

**QUANTITATIVE CHANGES OF γ -ORYZANOL, ANTHOCYANINS AND
ANTIOXIDANT ACTIVITY OF UNPOLISHED RICE DURING
HIGH TEMPERATURE SOAKING**

MISS PANITTRA CHAMNARNSIN

**A THESIS SUBMITTED IN PARTIAL FULFILLMENT OF THE REQUIREMENTS
FOR THE DEGREE OF MASTER OF SCIENCE
IN FOOD TECHNOLOGY
GRADUATE SCHOOL KHON KAEN UNIVERSITY**

2011

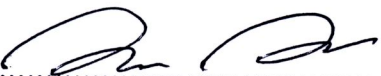


ในรับรองวิทยานิพนธ์
มหาวิทยาลัยขอนแก่น
หลักสูตร
วิทยาศาสตรมหาบัณฑิต
สาขาวิชาเทคโนโลยีการอาหาร

ชื่อวิทยานิพนธ์ : การเปลี่ยนแปลงปริมาณแคมมาโไฮไซด์ใน โโคไซด์ และ กิจกรรมการต้านออกซิเดชันของข้าวไม่ขัดศีรษะห่วงการ เชื้อที่อุณหภูมิสูง
ชื่อผู้กำกับวิทยานิพนธ์ : นางสาวพนิตตรา ชำนาญศิลป์

คณะกรรมการสอบวิทยานิพนธ์ รองศาสตราจารย์ ดร.บวรศักดิ์ ลีนานนท์ ประธานกรรมการ
ผู้ช่วยศาสตราจารย์ ดร.อารยา อารมณ์ฤทธิ์ กรรมการ
รองศาสตราจารย์ วนุช ศรีเจษฎารักษ์ กรรมการ
ผู้ช่วยศาสตราจารย์ ดร.ชัยรัตน์ ตั้งดวงดี กรรมการ

อาจารย์ที่ปรึกษาวิทยานิพนธ์ :

.....


อาจารย์ที่ปรึกษา

(ผู้ช่วยศาสตราจารย์ ดร.อารยา อารมณ์ฤทธิ์)

.....


(รองศาสตราจารย์ ดร. ลำปาง แม่นมาตย์)

.....


(ผู้ช่วยศาสตราจารย์ ดร. เกwin นันทชัย)

คณบดีบัณฑิตวิทยาลัย

คณบดีคณบดีเทคโนโลยี

ลิขสิทธิ์ของมหาวิทยาลัยขอนแก่น

พนิตตรา จำนวนศิลป์. 2554. การเปลี่ยนแปลงปริมาณแ去买มาโอไรซานอล แอนโธไซยานิน และกิจกรรมการต้านออกซิเดชันของข้าวไม่ขัดสีระหว่างการแช่ที่อุณหภูมิสูง. วิทยานิพนธ์ปริญญาวิทยาศาสตรมหาบัณฑิตสาขาวิชาเทคโนโลยีการอาหาร บัณฑิตวิทยาลัย มหาวิทยาลัยขอนแก่น.

อาจารย์ที่ปรึกษาวิทยานิพนธ์ : ผู้ช่วยศาสตราจารย์ ดร. อารยา อารมณ์ฤทธิ์

บทคัดย่อ

208846

ข้าวไม่ขัดสี (ข้าวกล้อง) มีองค์ประกอบสำคัญที่มีคุณสมบัติเป็นสารอาหารเพื่อสุขภาพ เช่น สารแ去买มาโอไรซานอลและสารแอนโธไซยานิน คนไทยบริโภคข้าวในรูปข้าวหุงสุกทั้งเมล็ด ดังนั้นการให้ความร้อนเพื่อทำให้ข้าวสุกอาจส่งผลต่อการเปลี่ยนแปลงสารสำคัญในเมล็ดข้าวเป็นผลทำให้ประโยชน์ที่จะได้รับจากสารสำคัญที่มีอยู่ในเมล็ดข้าวลดลง ดังนั้นในงานวิจัยนี้จึงมีวัตถุประสงค์เพื่อศึกษาผลของอุณหภูมิและระยะเวลาต่อการเปลี่ยนแปลงปริมาณแ去买มาโอไรซานอล แอนโธไซยานิน ระดับการสุกและกิจกรรมการต้านออกซิเดชันในข้าวที่ไม่ขัดสี 4 สายพันธุ์ ได้แก่ ข้าวเจ้า 2 สายพันธุ์ (หอมมะลิแดง หอมนิล) และข้าวเหนียว 2 สายพันธุ์ (KKU-GL-BL 06-043 และ KKU-GL-BL 05-003) ผลการตรวจวิเคราะห์คุณสมบัติเบื้องต้นของข้าวไม่ขัดสีที่ซึ่งไม่ผ่านการแช่พบว่า ข้าวเหนียวมีปริมาณแ去买มาโอไรซานอลและปริมาณแอนโธไซยานินสูงกว่ากลุ่มของข้าวเจ้า โดยพบว่าในกลุ่มข้าวเหนียว คือ ข้าวเหนียวพันธุ์ KKU-GL-BL 05-003 มีปริมาณแ去买มาโอไรซานอลสูงสุด ($12.09 \text{ mg}/100 \text{ g}_{\text{db}}$) และในกลุ่มข้าวเจ้าคือ ข้าวพันธุ์หอมนิล ($10.03 \text{ mg}/100 \text{ g}_{\text{db}}$) ปริมาณแอนโธไซยานินสูงสุดพบในข้าวเหนียวพันธุ์ KKU-GL-BL 06-043 ($273.72 \text{ mg}/100 \text{ g}_{\text{db}}$) และในกลุ่มข้าวเจ้าคือ ข้าวพันธุ์หอมนิล ($60.19 \text{ mg}/100 \text{ g}_{\text{db}}$) ปริมาณฟีโนลิกทั้งหมดสูงสุดพบใน ข้าวพันธุ์หอมมะลิแดง ($21.10 \text{ mg gallic acid}/100 \text{ g}_{\text{db}}$) รองลงมาคือ ข้าวพันธุ์ KKU-GL-BL 06-043 ($11.41 \text{ mg gallic acid}/100 \text{ g}_{\text{db}}$) ข้าวพันธุ์ KKU-GL-BL 05-003 ($6.82 \text{ mg gallic acid}/100 \text{ g}_{\text{db}}$) และข้าวหอมนิล ($4.42 \text{ mg gallic acid}/100 \text{ g}_{\text{db}}$) ตามลำดับ ค่ากิจกรรมการต้านออกซิเดชันสูงสุดพบในข้าวพันธุ์หอมมะลิแดง ($39.23 \text{ mg trolox}/100 \text{ g}_{\text{db}}$) รองลงมาคือ ข้าวพันธุ์ KKU-GL-BL 06-043 ($15.94 \text{ mg trolox}/100 \text{ g}_{\text{db}}$) ข้าวพันธุ์ KKU-GL-BL 05-003 ($8.01 \text{ mg trolox}/100 \text{ g}_{\text{db}}$) และข้าวหอมนิล ($3.89 \text{ mg trolox}/100 \text{ g}_{\text{db}}$) ตามลำดับ เมื่อนำข้าวทั้ง 4 สายพันธุ์ ไปแช่ที่อุณหภูมิและเวลาต่างๆ โดยใช้อัตราส่วนของข้าวต่อน้ำร่าห่วงการแช่เป็น 1:5 ผลการศึกษาพบว่า อุณหภูมิ ($65, 75, 85$ และ 95°C) และเวลา ($30, 45, 60, 75, 90, 105$ และ 120 นาที) ใน การแช่ข้าวมีผลต่อการเพิ่มขึ้นของปริมาณแ去买มาโอไรซานอลในเมล็ดข้าวไม่ขัดสีทั้ง 4 สายพันธุ์อย่างมีนัยสำคัญทางสถิติ ($p \leq 0.05$) ค่าอัตราการเปลี่ยนแปลงของปริมาณแ去买มาโอไรซานอล (k) ในระหว่างการแช่ข้าวที่อุณหภูมิ 95°C นาน $30-120$ นาที ของข้าวพันธุ์หอมนิล มีค่าสูงที่สุด ($k = 0.0071 \text{ mg ml}^{-1} \text{ min}^{-1}$) รองลงมาคือ หอมมะลิแดง ($k = 0.0044 \text{ mg ml}^{-1} \text{ min}^{-1}$) KKU-GL-BL 05-003 ($k = 0.0041 \text{ mg ml}^{-1} \text{ min}^{-1}$) และ KKU-GL-BL 06-043 ($k = 0.0032 \text{ mg ml}^{-1} \text{ min}^{-1}$) ตามลำดับ สำหรับค่าพลังงานก่อภัยมันต์ (E_a) ในช่วงอุณหภูมิการแช่ $65-95^{\circ}\text{C}$ พบว่า ข้าวพันธุ์หอมนิลมีค่าต่ำที่สุด ($E_a = 13.08 \text{ kJ mol}^{-1}$) และที่สภาวะการแช่เมล็ดข้าวที่อุณหภูมิ 95°C นาน 120 นาที ปริมาณแ去买มาโอไรซานอลที่ตรวจพบในข้าวพันธุ์หอมมะลิแดง หอมนิล ข้าวพันธุ์ KKU-GL-BL 06-043 และ KKU-GL-BL 05-003 มีค่าเท่ากับ $17.81, 6.16, 19.40$ และ $12.88 \text{ mg}/100 \text{ g}_{\text{db}}$ ตามลำดับ การแช่ข้าวที่ อุณหภูมิ ($28-95^{\circ}\text{C}$) และเวลา ($30-120$ นาที) ต่างๆมีผลต่อการลดลงของปริมาณแอนโธไซยานินในเมล็ดข้าวไม่ขัดสีทั้ง 4

208846

สายพันธุ์อย่างมีนัยสำคัญทางสถิติ ($p \leq 0.05$) ปริมาณแอนโธไซยานินคงอยู่ในเมล็ดข้าวพันธุ์หอมมะลิแดง หอมนิล KKU-GL-BL 06-043 และ KKU-GL-BL 05-003 หลังผ่านการแช่ข้าวที่อุณหภูมิ 28 °C (อุณหภูมิห้อง) นาน 120 นาที มีค่า 1.74, 3.67, 61.34 และ 19.34 mg/100 g_{db} ตามลำดับ และที่สภาวะการแช่ข้าวที่อุณหภูมิสูงสุด (95 °C) นาน 120 นาที เมล็ดข้าวมีปริมาณแอนโธไซยานินเท่ากับ 0.03, 0.31, 12.14 และ 4.70 mg/100 g_{db} ตามลำดับ และพบว่าข้าวพันธุ์ KKU-GL-BL 06-043 มีปริมาณแอนโธไซยานินที่คงเหลือในเมล็ดมากที่สุด คือ 61.34 mg/100 g_{db} และ 12.14 mg/100 g_{db} ที่สภาวะการแช่ที่อุณหภูมิ 28 °C และ 95 °C (นาน 120 นาที) สภาวะการแช่ข้าวที่อุณหภูมิ 95 °C นาน 45 นาที สามารถทำให้ข้าวพันธุ์หอมมะลิแดง หอมนิล และ KKU-GL-BL 05-003 มีระดับการสูญ 100% และพบว่าข้าวพันธุ์หอมมะลิแดงสูญมีปริมาณสารแแกมมาโอไรซานอลคงอยู่ในเมล็ดเท่ากับ 10.41 mg/100 g_{db} ปริมาณแอนโธไซยานินเท่ากับ 0.40 mg/100 g_{db} และค่ากิจกรรมการต้านออกซิเดชันเท่ากับ 1.10 mg trolox/100 g_{db} ในข้าวพันธุ์หอมนิลสูญมีปริมาณสารแแกมมาโอไรซานอลคงอยู่ในเมล็ดเท่ากับ 14.73 mg/100 g_{db} ปริมาณ แอนโธไซยานินเท่ากับ 0.67 mg/100 g_{db} และค่ากิจกรรมการต้านออกซิเดชันเท่ากับ 0.55 mg trolox/100 g_{db} และในข้าวพันธุ์ KKU-GL-BL 05-003 มีปริมาณสารแแกมมาโอไรซานอลคงอยู่ในเมล็ดเท่ากับ 14.75 mg/100 g_{db} ปริมาณแอนโธไซยานินที่คงอยู่ในเมล็ดเท่ากับ 7.56 mg/100 g_{db} และกิจกรรมการต้านออกซิเดชันที่คงอยู่ในเมล็ด เท่ากับ 1.08 mg trolox/100 g_{db} สำหรับข้าวพันธุ์ KKU-GL-BL 06-043 สามารถทำให้สูญทั้งเมล็ด ต้องผ่านการแช่ที่ 95 °C นาน 60 นาที พบว่า มีปริมาณสารแแกมมาโอไรซานอลคงอยู่ในเมล็ดเท่ากับ 14.13 mg/100 g_{db} ปริมาณ แอนโธไซยานินเท่ากับ 16.05 mg/100 g_{db} และค่ากิจกรรมการต้านออกซิเดชันเท่ากับ 1.67 mg trolox/100 g_{db}

Panittra Chamnarnsin. 2011. **Quantitative Changes of γ -Oryzanol, Anthocyanins and Antioxidant Activity of Unpolished Rice during High Temperature Soaking.** Master of Science Thesis in Food Technology, Graduate School, Khon Kaen University.

Thesis Advisor : Assistant Professor Dr. Araya Ahromrit

ABSTRACT

208846

Unpolished rice (brown rice) is a major source of bioactive compounds such as gamma-oryzanol and anthocyanins. Thai people consume cooked rice in form of whole grains. To cook the whole grains by heating process may influence changes of the bioactive compounds in the rice, and thus the benefit obtaining from consumption of the cooked rice may decrease. Therefore, in this work, the aim is to study changes of gamma-oryzanol content, anthocyanins content, degree of gelatinization and antioxidant activity of unpolished rice during high temperature soaking. 4 varieties of rice studied were 2 non-glutinous rice varieties (Hom Mali Dang and Hom Nin) and 2 glutinous rice varieties (KKU-GL-BL 06-043 and KKU-GL-BL 05-003). Qualities of unpolished rice before high temperature soaking showed that glutinous rice varieties had higher gamma-oryzanol and anthocyanins contents than non-glutinous rice varieties. The highest gamma-oryzanol contents of KKU-GL-BL 05-003 and Hom Nin were 12.09 mg/100 g_{db} and 10.03 mg/100 g_{db}, respectively. In addition, the highest anthocyanins contents were found about 273.72 mg/100 g_{db} in KKU-GL-BL 06-043 as well as 60.19 mg/100 g_{db} in Hom Nin. Total phenolic contents of Hom Mali Dang, KKU-GL-BL 06-043, KKU-GL-BL 05-003 and Hom Nin were 21.10, 11.41, 6.82 and 4.42 mg gallic acid/100 g_{db}, respectively. Antioxidant activities of Hom Mali Dang, KKU-GL-BL 06-043, KKU-GL-BL 05-003 and Hom Nin were 39.23, 15.94, 8.01 and 3.89 mg trolox/100 g_{db}, respectively. 4 rice varieties were heated at 65 75 85 and 95 °C for 30-120 minutes. Ratio of rice and water used were 1:5 during high soaking temperature. The results showed that soaking temperatures and times influenced on increase of gamma-oryzanol contents in all rice varieties ($p \leq 0.05$). At 95°C for 30-120 minutes, the highest rate constant (k) of gamma-oryzanol increasing ratios was observed to be 0.0071 mg ml⁻¹ min⁻¹ in Hom Nin. Moreover, the rate constant values dropped progressively in Hom Mali Dang ($k = 0.0044$ mg ml⁻¹ min⁻¹), KKU-GL-BL 05-003 ($k = 0.0041$ mg ml⁻¹ min⁻¹) and KKU-GL-BL 06-043 ($k = 0.0032$ mg ml⁻¹ min⁻¹), respectively. The activation energy (E_a) of Hom Nin was found to take the lowest value: 13.08 kJmol⁻¹. Gamma-oryzanol contents of Hom Mali Dang, Hom Nin, KKU-GL-BL 06-043 and KKU-GL-BL 05-003 were 17.81, 6.16, 19.40 and 12.88 mg/100 g_{db}, respectively after soaking at 95°C for 120 minutes. The results showed that decreasing anthocyanin contents of soaked grains at any time depended on the temperature ($p \leq 0.05$). Anthocyanins contents of Hom Mali Dang, Hom Nin, KKU-GL-BL 06-043 and KKU-GL-BL 05-003 were 1.74, 3.67, 61.34 and 19.34 mg/100 g_{db}, respectively after soaking at 28°C for 120 minutes, and there were 0.03, 0.31, 12.14 and 4.70 mg/100 g_{db}, respectively after soaking at 95°C for 120 minutes. It was clear that the

208846

highest retention of anthocyanins content of KKU-GL-BL 06-043 soaked for 120 minutes at 28°C and 95°C was revealed 61.34 and 12.14 mg/100 g_{db}, respectively. When gelatinization was observed to occur, its degree was to increase with soaking time. The gelatinizations of Hom Mali Dang, Hom Nin and KKU-GL-BL 05-003 were completed at 95°C for 45 minutes while KKU-GL-BL 06-043 variety was needed for 60 minutes. The retentions of gamma-oryzanol, anthocyanins and antioxidant activity of cooked Hom Mali Dang were revealed 10.41 mg/100 g_{db}, 0.40 mg/100 g_{db} and 1.10 mg trolox/100 g_{db}, respectively. For cooked Hom Nin, the retentions of gamma-oryzanol, anthocyanins and antioxidant activity were revealed 14.73 mg/100 g_{db}, 0.67 mg/100 g_{db} and 0.55 mg trolox/100 g_{db}, respectively. For cooked KKU-GL-BL 05-003, the retentions of gamma-oryzanol, anthocyanins and antioxidant activity were revealed 14.75 mg/100 g_{db}, 7.56 mg/100 g_{db} and 1.08 mg trolox/100 g_{db}, respectively. For cooked KKU-GL-BL 06-043, the retentions of gamma-oryzanol, anthocyanins and antioxidant activity were revealed 14.13 mg/100 g_{db}, 16.05 mg/100 g_{db} and 1.67 mg trolox/100 g_{db}, respectively.

งานวิทยานิพนธ์นี้มอบส่วนดีเด่นพกไว้และคณาจารย์

กิตติกรรมประกาศ

วิทยานิพนธ์ฉบับนี้สำเร็จลุล่วงไปได้ด้วยดี ผู้จัดทำต้องขอกราบขอบพระคุณ พศ.ดร. อารามณ์ฤทธิ์ อาจารย์ที่ปรึกษาในวิชัยที่กรุณาสละเวลาให้คำปรึกษาและให้คำแนะนำทางวิชาการ ตลอดจนตรวจทานแก้ไข วิทยานิพนธ์ฉบับนี้ กระทั่งรวมมาเป็นวิทยานิพนธ์ฉบับที่สมบูรณ์ และขอกราบขอบพระคุณคณาจารย์ ภาควิชาเทคโนโลยีอาหารทุกท่าน ที่ประสิทธิ์ประสาทวิชาและอบรมสั่งสอนระหว่างการศึกษา

ขอกราบขอบพระคุณ รศ.ดร. บรรหารศักดิ์ ลินานันท์ รศ. วนิช ศรีเจษฎารักษ์ พศ.ดร. ชัยรัตน์ ตั้งวงศ์ ที่ ให้ข้อชี้แนะในการแก้ไขวิทยานิพนธ์ รวมทั้งเป็นกรรมการในการสอบวิทยานิพนธ์

ขอขอบคุณภาควิชาเทคโนโลยีอาหาร ที่ช่วยสนับสนุนอุปกรณ์ เครื่องมือ และสถานที่ในการวิจัย ขอขอบคุณนักวิทยาศาสตร์และเจ้าหน้าที่ทุกท่านที่ให้ความช่วยเหลือในงานวิจัยเป็นอย่างดี

ขอขอบคุณมหาวิทยาลัยขอนแก่นที่สนับสนุนทุนอุดหนุนการวิจัย หมวดเงินอุดหนุนทั่วไป ประจำปี งบประมาณ 2553 และศูนย์นวัตกรรมเทคโนโลยีห้องการเรียนเก็บเกี่ยว : หน่วยงานร่วมมหาวิทยาลัยขอนแก่น ที่ให้การสนับสนุนการวิจัยครั้งนี้

สุดท้ายขอขอบพระคุณ บิดา มารดา และพี่สาว สำหรับความรัก ความเอาใจใส่ กำลังใจ ขอบคุณเพื่อนๆ น้องๆ ทุกคน ที่ให้การสนับสนุน ให้กำลังใจและความช่วยเหลือผู้วิจัยเป็นอย่างดีตลอดมา

พนิตตรา ชำนาญศิลป์

สารบัญ

	หน้า
บทคัดย่อภาษาไทย	ก
บทคัดย่อภาษาอังกฤษ	ค
คำอุทิศ	จ
กิตติกรรมประกาศ	ฉ
สารบัญตาราง	ณ
สารบัญภาพ	៥
บทที่ 1 บทนำ	
1. ที่มาและความสำคัญ	1
2. วัตถุประสงค์การวิจัย	2
3. ขอบเขตของการวิจัย	2
4. ประโยชน์ที่คาดว่าจะได้รับ	3
บทที่ 2 วรรณกรรมและงานวิจัยที่เกี่ยวข้อง	
1. ความรู้เรื่องข้าว	4
2. ความรู้ที่นำไปปรับแกนมาโดยใช้นanol	21
3. ความรู้ที่นำไปปรับแกนโดยใช้ยานิน	24
4. อนุมูลอิสระและสารต้านออกซิเดชัน	30
บทที่ 3 วิธีดำเนินการวิจัย	
1. วัสดุ อุปกรณ์และสารเคมี	32
2. การเตรียมตัวอย่างข้าวไม่ขัดศี	35
3. วิธีการดำเนินการวิจัย	36
4. การวิเคราะห์ข้อมูล	39
5. สถานที่ทำการวิจัย	39
บทที่ 4 ผลการวิจัยและอภิปรายผล	
1. ผลการศึกษาคุณภาพเบื้องต้นของเมล็ดข้าวไม่ขัดศี	40
2. ผลการศึกษาผลของอุณหภูมิและระยะเวลาต่อการเปลี่ยนแปลงปริมาณ แก่นมาโดยใช้นanolในข้าวไม่ขัดศี	50
3. ผลการศึกษาผลของอุณหภูมิและระยะเวลาต่อการเปลี่ยนแปลงปริมาณ แอนโนไซด์ยานินในเมล็ดข้าวไม่ขัดศี	59

สารบัญ (ต่อ)

	หน้า
4. ผลการศึกษาผลของระยะเวลาในการให้ความร้อนที่อุณหภูมิ 95 °ซ ต่อระดับการสูญและกิจกรรมการต้านออกซิเดชันของเมล็ดข้าวไม่ขัดสี	63
บทที่ 5 สรุปผลการวิจัยและข้อเสนอแนะ	
1. การศึกษาคุณภาพเบื้องต้นของเมล็ดข้าวไม่ขัดสี	69
2. การศึกษาผลของอุณหภูมิและระยะเวลาต่อการเปลี่ยนแปลงปริมาณ แคมมาโอลีรชานอลในข้าวไม่ขัดสี	70
3. การศึกษาผลของอุณหภูมิและระยะเวลาต่อการเปลี่ยนแปลงปริมาณ แอนโซไซด์ยานินในเมล็ดข้าวไม่ขัดสี	70
4. การศึกษาผลของระยะเวลาในการให้ความร้อนข้าวที่อุณหภูมิ 95 °ซ ต่อระดับการสูญและกิจกรรมการต้านออกซิเดชันของเมล็ดข้าวไม่ขัดสี	71
5. ข้อเสนอแนะ	72
เอกสารอ้างอิง	73
ภาคผนวก	
ภาคผนวก ก วิธีการวิเคราะห์คุณสมบัติทางกายภาพและเคมีของข้าวไม่ขัดสี	80
ภาคผนวก ข ผลการวิเคราะห์ข้อมูลทางสถิติ	98
ประวัติผู้เขียน	121

สารบัญตาราง

	หน้า
ตารางที่ 1 ลักษณะความแตกต่างระหว่าง <i>indica</i> , <i>japonica</i> และ <i>javanica</i> subspecies	5
ตารางที่ 2 องค์ประกอบต่างๆ ด้านคุณค่าทางอาหารภายในข้าวกล้อง ข้าวสาร รำข้าว รำละเอียด และคัพกะ ในส่วนที่รับประทานได้ 100 กรัม	8
ตารางที่ 3 องค์ประกอบทางเคมีต่อน้ำหนักข้าวดิบ 100 กรัม ของข้าวมันนู่น ข้าวหอมมะลิ ข้าวเหนียวขาวและข้าว เห็นiyawdā	9
ตารางที่ 4 รูปร่างเมล็ดข้าวจำแนกโดยใช้อัตราส่วนความยาว/ความกว้าง	11
ตารางที่ 5 ขนาดของเมล็ดข้าวจำแนกตามความยาว	12
ตารางที่ 6 การเปรียบเทียบขนาดและรูปร่างของข้าวสาร 3 จากประเทศไทย อิตาลี และญี่ปุ่น	12
ตารางที่ 7 การแบ่งประเภทข้าวตามปริมาณแอมิโน酳และคุณลักษณะเนื้อสัมผัสของข้าวสุก	13
ตารางที่ 8 คุณค่าทางโภชนาการของข้าวหอมมะลิแดง	14
ตารางที่ 9 ส่วนประกอบคุณค่าทางอาหารของข้าวเหนียวดำ	15
ตารางที่ 10 ปริมาณไขมัน แแกมมาโอโซรานอลและวิตามินอีในข้าวไทยพันธุ์ต่างๆ	22
ตารางที่ 11 ปริมาณแแกมมาโอโซรานอลจากวัตถุดิบต่างๆ	23
ตารางที่ 12 ปริมาณแอนโซไซดานินจากวัตถุดิบต่างๆ	27
ตารางที่ 13 รูปร่างของเมล็ดข้าวซึ่งคำนวณจากอัตราส่วนระหว่างความยาวต่อความกว้าง	40
ตารางที่ 14 ขนาด รูปร่างเมล็ดและน้ำหนัก 100 เมล็ด ของเมล็ดข้าวไม่ขัดศี 4 สายพันธุ์	41
ตารางที่ 15 ค่า E _a L* a* b* และ h̄ ของข้าวไม่ขัดศี 4 สายพันธุ์ และข้าวพันธุ์ กข 6 พร้อมและสันป่าตอง 1	42
ตารางที่ 16 การเปลี่ยนแปลงความหนืดของน้ำแข็งจากข้าวทั้ง 4 สายพันธุ์	44
ตารางที่ 17 คุณสมบัติทางเคมีของข้าวไม่ขัดศี 4 สายพันธุ์	46
ตารางที่ 18 ปริมาณแแกมมาโอโซรานอลเฉลี่ย (mg/100 g _{db}) ที่คงอยู่ในเมล็ดข้าวไม่ขัดศี 4 สายพันธุ์ หลังจากผ่านการแช่ที่อุณหภูมิและเวลาต่างๆ	51
ตารางที่ 19 อัตราการเปลี่ยนแปลงปริมาณแแกมมาโอโซรานอล (mg ml ⁻¹ min ⁻¹) ของข้าวไม่ขัดศี 4 สายพันธุ์ ซึ่งผ่านการแช่ที่อุณหภูมิ 65, 75, 85 และ 95 °C นาน 30-120 นาที	55
ตารางที่ 20 ค่าพลังงานก่อการมันต์ หรือ E _a (kJ mol ⁻¹) ของข้าวไม่ขัดศี 4 สายพันธุ์ ที่ผ่านการแช่ในช่วงอุณหภูมิ 65-95 °C นาน 30-120 นาที	58
ตารางที่ 21 ปริมาณแอนโซไซดานิน (mg/100 g _{db}) ที่คงอยู่ในเมล็ดข้าวไม่ขัดศี 4 สายพันธุ์ หลังจากผ่านการแช่ที่อุณหภูมิและเวลาต่างๆ	59

สารบัญตาราง (ต่อ)

	หน้า
ตารางที่ 22 ร้อยละการสูญเสียของแอนโพรไไซยานินในข้าวไม่ขัดศี 4 สายพันธุ์ หลังจากผ่านการแช่ที่อุณหภูมิและเวลาต่างๆ	61
ตารางที่ 23 ค่าเออนทาลปี ($\Delta H, J/g$) อุณหภูมิเริ่มเปลี่ยนแปลง (onset, T_o) อุณหภูมิของการเปลี่ยนแปลงสูงสุด (peak, T_p) และอุณหภูมิสุดท้าย (end, T_e) ของข้าวไม่ขัดศี 4 สายพันธุ์ ที่ไม่ผ่านการให้ความร้อน	64
ตารางที่ 24 ร้อยละระดับการสุก (% gelatinization) ค่าเออนทาลปี ($\Delta H, J/g$) อุณหภูมิเริ่มเปลี่ยนแปลง (onset, T_o) อุณหภูมิของการเปลี่ยนแปลงสูงสุด (peak, T_p) และ อุณหภูมิสุดท้าย (end, T_e) ของข้าวไม่ขัดศี 4 สายพันธุ์ ที่อุณหภูมิ 95 °C นาน 30 นาที	64
ตารางที่ 25 กิจกรรมการต้านออกซิเดชัน (mg trolox/100 g _{db}) ของข้าวไม่ขัดศี 4 สายพันธุ์ ที่ไม่ผ่านการให้ความร้อนและผ่านการให้ความร้อนที่อุณหภูมิ 95 °C เวลา 30-120 นาที	67
ตารางที่ 26 แสดงระดับความเข้มข้นของเอมิโอดส์และเอมิโลเพคตินสำหรับกราฟมาตรฐาน	90
ตารางที่ 27 ความเข้มข้นของสารมาตรฐานแกรมมาโอ ไวรชานอลในสารละลายเอทานอล	96
ตารางที่ 28 ปริมาณแกรมมาโอ ไวรชานอลในเอทานอลเมื่อใช้ตัวอย่างข้าว 0.5 กรัมต่อเอทานอล 5 ml (V_1) และ 10 ml (V_2)	97
ตารางที่ 29 ผลการวิเคราะห์ความแปรปรวนของความกว้างของข้าวไม่ขัดศี 4 สายพันธุ์	99
ตารางที่ 30 ผลการวิเคราะห์ความแปรปรวนของความยาวของข้าวไม่ขัดศี 4 สายพันธุ์	99
ตารางที่ 31 ผลการวิเคราะห์ความแปรปรวนของความหนาของข้าวไม่ขัดศี 4 สายพันธุ์	99
ตารางที่ 32 ผลการวิเคราะห์ความแปรปรวนของน้ำหนัก 100 เมตริก ของข้าวไม่ขัดศี 4 สายพันธุ์	100
ตารางที่ 33 ผลการวิเคราะห์ความแปรปรวนของค่าสี L* ของข้าวไม่ขัดศี 4 สายพันธุ์	100
ตารางที่ 34 ผลการวิเคราะห์ความแปรปรวนของค่าสี a* ของข้าวไม่ขัดศี 4 สายพันธุ์	100
ตารางที่ 35 ผลการวิเคราะห์ความแปรปรวนของค่าสี b* ของข้าวไม่ขัดศี 4 สายพันธุ์	101
ตารางที่ 36 ผลการวิเคราะห์ความแปรปรวนของค่าความหนืดสูงสุด (peak viscosity) ของข้าวไม่ขัดศี 4 สายพันธุ์	101
ตารางที่ 37 ผลการวิเคราะห์ความแปรปรวนของค่าเบรกดาวน์ (breakdown) ของข้าวไม่ขัดศี 4 สายพันธุ์	101

สารบัญตาราง (ต่อ)

	หน้า
ตารางที่ 38 ผลการวิเคราะห์ความแปรปรวนของค่าความหนืดสุดท้าย (final viscosity) ของข้าวไม่ขัดสี 4 สายพันธุ์	102
ตารางที่ 39 ผลการวิเคราะห์ความแปรปรวนของค่าความแตกต่างระหว่างความหนืดสุดท้าย กับค่าความหนืดที่ต่ำสุดหรือค่าการคืนตัว (Setback) ของข้าวไม่ขัดสี 4 สายพันธุ์	102
ตารางที่ 40 ผลการวิเคราะห์ความแปรปรวนของอุณหภูมิเริ่มเกิดความหนืด (pasting temperature) ของข้าวไม่ขัดสี 4 สายพันธุ์	102
ตารางที่ 41 ผลการวิเคราะห์ความแปรปรวนของความชื้น (โดยนำหนักแห้ง) ของข้าวไม่ขัดสี 4 สายพันธุ์	103
ตารางที่ 42 ผลการวิเคราะห์ความแปรปรวนของร้อยละปริมาณโปรตีนของข้าวไม่ขัดสี 4 สายพันธุ์	103
ตารางที่ 43 ผลการวิเคราะห์ความแปรปรวนของร้อยละปริมาณเส้นใย ของข้าวไม่ขัดสี 4 สายพันธุ์	103
ตารางที่ 44 ผลการวิเคราะห์ความแปรปรวนของร้อยละปริมาณไขมันของข้าวไม่ขัดสี 4 สายพันธุ์	104
ตารางที่ 45 ผลการวิเคราะห์ความแปรปรวนของร้อยละปริมาณถ้าของข้าวไม่ขัดสี 4 สายพันธุ์	104
ตารางที่ 46 ผลการวิเคราะห์ความแปรปรวนของร้อยละปริมาณแอมิโลสของข้าวไม่ขัดสี 4 สายพันธุ์	104
ตารางที่ 47 ผลการวิเคราะห์ความแปรปรวนของปริมาณฟินอลิกทั้งหมดของข้าวไม่ขัดสี 4 สายพันธุ์	105
ตารางที่ 48 ผลการวิเคราะห์ความแปรปรวนของปริมาณแเกรมมาโอะไรซานอลในข้าวไม่ขัดสีที่ยังไม่ผ่านการแช่ 4 สายพันธุ์	105
ตารางที่ 49 ผลการวิเคราะห์ความแปรปรวนของปริมาณแอนโธไซยานินในข้าวไม่ขัดสี ที่ยังไม่ผ่านการแช่ 4 สายพันธุ์	105
ตารางที่ 50 ผลการวิเคราะห์ความแปรปรวนของกิจกรรมการต้านออกซิเดชันในข้าวไม่ขัดสีที่ยังไม่ผ่านการแช่ 4 สายพันธุ์	106
ตารางที่ 51 ปริมาณของแข็งทั้งหมดในน้ำแข็งของข้าวไม่ขัดสี 4 สายพันธุ์หลังผ่านการแช่ที่ อุณหภูมิและเวลาต่างๆ	106

สารบัญตาราง (ต่อ)

	หน้า
ตารางที่ 52 ปริมาณแ去买าโอ ไธานอลเฉลี่ย ($\text{mg}/100 \text{ g}_{\text{db}}$) ที่คงอยู่ในเมล็ดข้าวพันธุ์ หอมมะลิแดงหลังจากผ่านการแช่ที่อุณหภูมิและเวลาต่างๆ	108
ตารางที่ 53 ปริมาณแ去买าโอ ไธานอลเฉลี่ย ($\text{mg}/100 \text{ g}_{\text{db}}$) ที่คงอยู่ในข้าวพันธุ์หอมนิล หลังจากผ่านการแช่ที่อุณหภูมิและเวลาต่างๆ	108
ตารางที่ 54 ปริมาณแ去买าโอ ไธานอลเฉลี่ย ($\text{mg}/100 \text{ g}_{\text{db}}$) ที่คงอยู่ในเมล็ดข้าวพันธุ์ KKU-GL-BL 06-043 หลังจากผ่านการแช่ที่อุณหภูมิและเวลาต่างๆ	109
ตารางที่ 55 ปริมาณแ去买าโอ ไธานอลเฉลี่ย ($\text{mg}/100 \text{ g}_{\text{db}}$) ที่คงอยู่ในเมล็ดข้าวพันธุ์ KKU-GL-BL 05-003 หลังจากผ่านการแช่ที่อุณหภูมิและเวลาต่างๆ	109
ตารางที่ 56 ผลการวิเคราะห์ความแปรปรวนของปริมาณแ去买าโอ ไธานอลในข้าวพันธุ์ หอมมะลิแดงหลังจากผ่านการแช่ที่อุณหภูมิ 65, 75, 85 และ 95 °ช เป็นระยะเวลานาน 30, 45, 60, 75, 90, 105 และ 120 นาที	110
ตารางที่ 57 ผลการวิเคราะห์ความแปรปรวนของปริมาณแ去买าโอ ไธานอลในข้าวพันธุ์ หอมนิลหลังจากผ่านการแช่ที่อุณหภูมิ 65, 75, 85 และ 95 °ช เป็นระยะเวลา นาน 30, 45, 60, 75, 90, 105 และ 120 นาที	110
ตารางที่ 58 ผลการวิเคราะห์ความแปรปรวนของปริมาณแ去买าโอ ไธานอลในข้าวพันธุ์ KKU-GL-BL 06-043 หลังจากผ่านการแช่ที่อุณหภูมิ 65, 75, 85 และ 95 °ช เป็นระยะเวลานาน 30, 45, 60, 75, 90, 105 และ 120 นาที	111
ตารางที่ 59 ผลการวิเคราะห์ความแปรปรวนของปริมาณแ去买าโอ ไธานอลในข้าวพันธุ์ KKU-GL-BL 05-003 หลังจากผ่านการแช่ที่อุณหภูมิ 65, 75, 85 และ 95 °ช เป็นระยะเวลานาน 30, 45, 60, 75, 90, 105 และ 120 นาที	111
ตารางที่ 60 ปริมาณแอนโซไซดานิน ($\text{mg}/100 \text{ g}_{\text{db}}$) ในข้าวหอมมะลิแดง หลังจากผ่านการแช่ ที่อุณหภูมิ (28 ± 1), 65, 75, 85 และ 95 °ช และนาน 30-120 นาที	112
ตารางที่ 61 ปริมาณแอนโซไซดานิน ($\text{mg}/100 \text{ g}_{\text{db}}$) ในข้าวหอมนิลหลังจากผ่านการแช่ ที่อุณหภูมิ (28 ± 1), 65, 75, 85 และ 95 °ช และนาน 30-120 นาที	112
ตารางที่ 62 ปริมาณแอนโซไซดานิน ($\text{mg}/100 \text{ g}_{\text{db}}$) ในข้าว KKU-GL-BL 06-043 หลังจาก ผ่านการแช่ที่อุณหภูมิ (28 ± 1), 65, 75, 85 และ 95 °ช และนาน 30-120 นาที	113
ตารางที่ 63 ปริมาณแอนโซไซดานิน ($\text{mg}/100 \text{ g}_{\text{db}}$) ในข้าว KKU-GL-BL 05-003 หลังจาก ผ่านการแช่ที่อุณหภูมิ (28 ± 1), 65, 75, 85 และ 95 °ช และนาน 30-120 นาที	113

สารบัญตาราง (ต่อ)

	หน้า
ตารางที่ 64 ผลการวิเคราะห์ความแปรปรวนของปริมาณแอนโซไซยานิน (mg/100 g _{db}) ในข้าวหอนมะลิแดงหลังจากผ่านการแช่ที่อุณหภูมิ (28 ± 1), 65, 75, 85 และ 95 °ซ และนาน 30-120 นาที	114
ตารางที่ 65 ผลการวิเคราะห์ความแปรปรวนของปริมาณแอนโซไซยานิน (mg/100 g _{db}) ในข้าวหอนนิลหลังจากผ่านการแช่ที่อุณหภูมิอุณหภูมิ (28 ± 1), 65, 75, 85 และ 95 °ซ และนาน 30-120 นาที	114
ตารางที่ 66 ผลการวิเคราะห์ความแปรปรวนของปริมาณแอนโซไซยานิน (mg/100 g _{db}) ในข้าว KKU-GL-BL 06-043 หลังจากผ่านการแช่ที่อุณหภูมิ (28 ± 1), 65, 75, 85 และ 95 °ซ และนาน 30-120 นาที	115
ตารางที่ 67 ผลการวิเคราะห์ความแปรปรวนของปริมาณแอนโซไซยานิน (mg/100 g _{db}) ในข้าว KKU-GL-BL 05-003 หลังจากผ่านการแช่ที่อุณหภูมิ (28 ± 1), 65, 75, 85 และ 95 °ซ และนาน 30-120 นาที	115
ตารางที่ 68 ผลการวิเคราะห์ความแปรปรวนของร้อยละการสูญเสียของปริมาณแอนโซไซยานิน (เทียบกับปริมาณเริ่มต้น) ในข้าวหอนมะลิแดง หลังจากผ่านการแช่ที่อุณหภูมิ (28 ± 1), 65, 75, 85 และ 95 °ซ และนาน 30-120 นาที	116
ตารางที่ 69 ผลการวิเคราะห์ความแปรปรวนของร้อยละการสูญเสียของปริมาณแอนโซไซยานิน (เทียบกับปริมาณเริ่มต้น) ในข้าวหอนนิลหลังจากผ่านการแช่ที่อุณหภูมิอุณหภูมิ (28 ± 1), 65, 75, 85 และ 95 °ซ และนาน 30-120 นาที	116
ตารางที่ 70 ผลการวิเคราะห์ความแปรปรวนของร้อยละการสูญเสียของปริมาณแอนโซไซยานิน (เทียบกับปริมาณเริ่มต้น) ในข้าว KKU-GL-BL 06-043 หลังจากผ่านการแช่ที่อุณหภูมิ (28 ± 1), 65, 75, 85 และ 95 °ซ และนาน 30-120 นาที	117
ตารางที่ 71 ผลการวิเคราะห์ความแปรปรวนของร้อยละการสูญเสียของปริมาณแอนโซไซยานิน (เทียบกับปริมาณเริ่มต้น) ในข้าว KKU-GL-BL 05-003 หลังจากผ่านการแช่ที่อุณหภูมิ (28 ± 1), 65, 75, 85 และ 95 °ซ และนาน 30-120 นาที	117

สารบัญตาราง (ต่อ)

	หน้า	
ตารางที่ 72	ผลการวิเคราะห์ความแปรปรวนของค่าอ่อนทางปี (ΔH , J/g) ของข้าวไม่ขัดสี 4 สาย พันธุ์ ที่อุณหภูมิ 95 °C นาน 30 นาทีของข้าวไม่ขัดสี 4 สาย พันธุ์ ที่อุณหภูมิ 95 °C นาน 30 นาที	118
ตารางที่ 73	ผลการวิเคราะห์ความแปรปรวนของอุณหภูมิเริ่มเปลี่ยนแปลง (onset, T_o) ของข้าวไม่ขัดสี 4 สาย พันธุ์ ที่อุณหภูมิ 95 °C นาน 30 นาที	118
ตารางที่ 74	ผลการวิเคราะห์ความแปรปรวนของอุณหภูมิของการเปลี่ยนแปลงสูงสุด (peak, T_p) ของข้าวไม่ขัดสี 4 สาย พันธุ์ ที่อุณหภูมิ 95 °C นาน 30 นาที	118
ตารางที่ 75	ผลการวิเคราะห์ความแปรปรวนของอุณหภูมิสุดท้าย (end, T_e) ของข้าวไม่ขัดสี 4 สาย พันธุ์ ที่อุณหภูมิ 95 °C นาน 30 นาที	119
ตารางที่ 76	ผลการวิเคราะห์ความแปรปรวนของกิจกรรมการต้านออกซิเดชัน (mg trolox/100 g _{db}) ของข้าวพันธุ์หอมมะลิแดง ก่อนแช่และหลังแช่ที่อุณหภูมิ 95 °C เวลา 30-120 นาที	119
ตารางที่ 77	ผลการวิเคราะห์ความแปรปรวนของกิจกรรมการต้านออกซิเดชัน (mg trolox/100 g _{db}) ของข้าวพันธุ์หอมนิล ก่อนแช่และหลังแช่ที่อุณหภูมิ 95 °C เวลา 30-120 นาที	119
ตารางที่ 78	ผลการวิเคราะห์ความแปรปรวนของกิจกรรมการต้านออกซิเดชัน (mg trolox/100 g _{db}) ของข้าวพันธุ์ KKU-GL-BL 06-034 ก่อนแช่และหลังจากผ่านการแช่ที่อุณหภูมิ 95 °C เวลา 30-120 นาที	120
ตารางที่ 79	ผลการวิเคราะห์ความแปรปรวนของกิจกรรมการต้านออกซิเดชัน (mg trolox/100 g _{db}) ของข้าวพันธุ์ KKU-GL-BL 05-003 ก่อนแช่และหลังจากผ่านการแช่ที่อุณหภูมิ 95 °C เวลา 30-120 นาที	120

สารบัญภาพ

	หน้า	
ภาพที่ 1	ลักษณะเปรียบเทียบรูปร่างของข้าวพันธุ์ jawsawanika อินดิกา จาปอนิกา	5
ภาพที่ 2	โครงสร้างของเมล็ดข้าว	6
ภาพที่ 3	การวัดขนาดของเมล็ดข้าวเปลือก เมื่อ W คือ ความกว้าง L คือ ความยาว T คือ ความหนา	11
ภาพที่ 4	โครงสร้างทางเคมีของแอมิโลส	16
ภาพที่ 5	โครงสร้างทางเคมีของแอมิโลเพคติน	17
ภาพที่ 6	ตัวอย่างกราฟที่ได้จากการวิเคราะห์ด้วยเครื่อง DSC	19
ภาพที่ 7	ตัวอย่างกราฟที่ได้จากการวิเคราะห์ความหนาของแป้งด้วยเครื่อง RVA	20
ภาพที่ 8	โครงสร้างทางเคมีของแแกมมาโอไรซานอล	21
ภาพที่ 9	โครงสร้างหลักของแอนโซไซยานิน	24
ภาพที่ 10	โครงสร้างแอนโซไซยานินที่พบในธรรมชาติทั้ง 6 ชนิด	25
ภาพที่ 11	โครงสร้าง 4 แบบของแอนโซไซยานินเมื่อยูไนเต็ดในสารละลายกรด	26
ภาพที่ 12	ผลของโครงสร้างของแอนโซไซยานินที่มีต่อสีแอนโซโซไซยานิน	28
ภาพที่ 13	การเปลี่ยนแปลงโครงสร้างของแอนโซไซยานินเมื่อ pH เปลี่ยน	29
ภาพที่ 14	ผลของออกซิเจนต่อความคงตัวของแอนโซโซไซยานิน	29
ภาพที่ 15	สูตรโครงสร้างของ DPPH ที่เป็นอนุมูลอิสระ (A.) และไม่เป็นอนุมูลอิสระ (B.)	31
ภาพที่ 16	กรอบแนวคิดในการดำเนินการวิจัย	35
ภาพที่ 17	ภาพถ่ายของเมล็ดข้าวไม่ขัดสี 4 สายพันธุ์	43
ภาพที่ 18	ปริมาณฟินอลิกทั้งหมด กิจกรรมการต้านออกซิเดชัน และปริมาณแแกมมาโอไรซานอลในข้าวไม่ขัดสี 4 สายพันธุ์	49
ภาพที่ 19	ปริมาณแอนโซไซยานินในข้าวไม่ขัดสี 4 สายพันธุ์	49
ภาพที่ 20	อัตราส่วนปริมาณแแกมมาโอไรซานอล c/c ₀ ของข้าวพันธุ์หอมมะลิแดง หลังจากผ่านการแช่ที่อุณหภูมิและเวลาต่างๆ	53
ภาพที่ 21	อัตราส่วนปริมาณแแกมมาโอไรซานอล c/c ₀ ของข้าวพันธุ์หอมนิลหลังจากผ่านการแช่ที่อุณหภูมิและเวลาต่างๆ	53
ภาพที่ 22	อัตราส่วนปริมาณแแกมมาโอไรซานอล c/c ₀ ของข้าวพันธุ์ KKU-GL-BL 06-043 หลังจากผ่านการแช่ที่อุณหภูมิและเวลาต่างๆ	54
ภาพที่ 23	อัตราส่วนปริมาณแแกมมาโอไรซ่า c/c ₀ ของข้าวพันธุ์ KKU-GL-BL 05-003 หลังจากผ่านการแช่ที่อุณหภูมิและเวลาต่างๆ	54

สารบัญภาพ (ต่อ)

	หน้า
ภาพที่ 24 กราฟความสัมพันธ์ระหว่าง $-\ln k$ และ $(1/T) \times 10^3 K^{-1}$ ของอัตราส่วนปริมาณ แกลมน้ำไอโอดีนลด ของข้าวพันธุ์หอมมะลิแดงในช่วงอุณหภูมิ 65-95 °ซ	56
ภาพที่ 25 กราฟความสัมพันธ์ระหว่าง $-\ln k$ และ $(1/T) \times 10^3 K^{-1}$ ของอัตราส่วนปริมาณ แกลมน้ำไอโอดีนลดของข้าวพันธุ์หอมนิลในช่วงอุณหภูมิ 65-95 °ซ	56
ภาพที่ 26 กราฟความสัมพันธ์ระหว่าง $-\ln k$ และ $(1/T) \times 10^3 K^{-1}$ ของอัตราส่วนปริมาณ แกลมน้ำไอโอดีนลดของข้าวพันธุ์ KKU GL BL 06-043 ในช่วงอุณหภูมิ 65-95 °ซ	57
ภาพที่ 27 กราฟความสัมพันธ์ระหว่าง $-\ln k$ และ $1/T \times 10^3 K^{-1}$ ของอัตราส่วนปริมาณ แกลมน้ำไอโอดีนลดของข้าวพันธุ์ KKU GL BL 05-003 ในช่วงอุณหภูมิ 65-95 °ซ	57
ภาพที่ 28 ร้อยละของระดับการสูญของข้าวมีสี 4 สายพันธุ์ ที่ 95 °ซ นาน 120 นาที	65
ภาพที่ 29 กิจกรรมการต้านออกซิเดชัน ($mg trolox/100 g_{db}$) ของข้าวไม่มีสี 4 สายพันธุ์ ที่ไม่ผ่านการให้ความร้อนและผ่านการให้ความร้อนที่อุณหภูมิ 95 °ซ เวลา 30-120 นาที	66
ภาพที่ 30 กราฟมาตรฐานแอมิโนเลส	91
ภาพที่ 31 กราฟมาตรฐาน gallic acid	92
ภาพที่ 32 กราฟมาตรฐาน Trolox	93
ภาพที่ 33 กราฟมาตรฐานของสารมาตรฐานแกลมน้ำไอโอดีนลดที่คล้ายในเอกสารลด	97